

UNIVERSIDADE DO MINHO
Mestrado Integrado em Engenharia
Informática
Computação Gráfica

TRABALHO PRÁTICO: 3^o FASE

Curvas, Superfícies Cúbicas e VBOs

Grupo 3:

Ricardo Silva — 60995

Bruno Pereira — 72628

Braga, 1 de Maio de 2017



Conteúdo

Introdução	5
1 Preliminares	6
2 Gerador	7
2.1 Esfera	7
2.1.1 Análise do Problema	7
2.1.2 Diagrama	8
2.2 Disco	12
2.2.1 Análise do Problema	12
2.3 Patch de Bézier baseado em ficheiro de pontos de controlo	17
2.3.1 Análise do Problema	17
2.3.1.1 Curvas de Bézier	18
2.3.1.2 Superfícies de Bézier (<i>patches</i> de Bézier)	21
2.3.1.3 Função <code>getBezierPatchPoint</code>	22
3 Motor	26
3.1 <i>Vertex Array Objects</i>	26
3.2 Estruturas de Dados para Transformações	27
3.3 Descrição do processo de leitura	29
3.4 Descrição do ciclo de <i>rendering</i>	33
3.5 Classe <code>AnimatedRotation</code>	34
3.6 Classe <code>AnimatedTranslation</code>	34
3.6.0.1 <i>Splines</i> cúbicas <i>Catmull-Rom</i>	34
4 Resultados	36



Conclusão	38
ANEXOS	40
A Modelo do Sistema Solar	40



Lista de Figuras

1	Objetivo do algoritmo de construção de esfera	8
2	Diagrama de representativo de construção de esfera	8
3	Diagrama de construção de esfera, com eixos, ordem do vértices e ângulos . . .	9
4	Esfera gerada	10
5	Diagrama Disco	13
6	Pormenor dos vértices para desenho de um disco	14
7	Resultado de um disco em <i>wireframe</i> , visto de baixo	15
8	Resultado de um disco em <i>wireframe</i> , visto de outro ângulo	15
9	Algoritmo geométrico <i>De Casteljau</i>	18
10	Representação da iteração em cada reta entre pontos referente à <i>Figura 9</i> . . .	19
11	Curvas exemplo de Bézier	20
12	Superfície de Bézier bi-cúbica	21
13	Bule visto de baixo	23
14	Bule visto de cima	24
15	Pontos da superfície do bule	25
16	Árvore <i>n-ária</i> para armazenamento de grupos	28
17	Hieraquia de classes de transformações geométricas	29
18	Diagrama representativo da recursividade do processo de leitura	32
19	<i>Spline</i> cúbica Catmull-Rom para os pontos $P_0, P_1, P_2 e P_3$	34
20	<i>Rendering</i> do modelo com foco na órbita da Lua	36
21	<i>Rendering</i> do modelo final	37



Lista de Algoritmos

1	Esfera	11
2	Disco	16
3	Função Principal Leitura	30
4	Função de travessia da árvore de Group	34



Introdução

Para este projeto é requerido que se criem cenas hierárquicas com transformações geométricas descritas num ficheiro XML. Cada cena é uma árvore onde cada nodo contém um conjunto de transformações geométricas e conjuntos de modelos com os nomes de ficheiros onde estão vértices para a criação da cena. O resultado final é *renderização* de um modelo do sistema solar.

Adicionalmente, os objetivos passam por criar uma função de leitura dos dados a partir de ficheiros, com a criação de uma estrutura ou estruturas de estruturas para armazenamento dos dados, sendo este processo feito apenas uma vez. Também é necessário definir primitivas gráficas e um processo de leitura das estruturas para ser incluído no processo de *rendering*.

Este relatório está dividido em duas secções: a secção que documenta o processo de criação e programação de algoritmos para criação de objetos para o sistema solar, no programa *Engine*, e uma segunda secção que documenta o processo de leitura dos dados gerados pelo primeiro programa, estrutura utilizadas para guardar esse dados, e processo de *rendering* iterando sobre as estruturas de dados e aplicando transformações, de forma a construir o sistema solar.



1 Preliminares



2 Gerador

O `Generator` tem, como função, recebendo parâmetros como comprimento, largura, raio, etc., gerar ficheiros de texto com a extensão `.3d`, cujo conteúdo é a informação sobre as figuras a criar.

Nesta secção ir-se-á descrever o processo de desenvolvimento das figuras necessárias do sistema solar. As figuras pertinentes a desenhar são a esfera (para os planetas e sol) e um disco (para alguns planetas que os tenham, como por exemplo Saturno).

2.1 Esfera

2.1.1 Análise do Problema

Para a construção da esfera teve-se que ter em conta coordenadas esféricas modificadas para o referencial rodado com Y para cima, Z como eixo das abcissas e X como eixo das ordenadas, como demonstra a Equação 1.

$$\begin{cases} x = \cos(\phi) * \sin(\theta) * \rho \\ y = \sin(\phi) * \rho \\ z = \cos(\phi) * \cos(\theta) * \rho \end{cases} \quad (1)$$

Na Equação 1, ρ representa o raio, ϕ o ângulo polar sendo $\phi \in [-\frac{\pi}{2}, \frac{\pi}{2}]$, θ representa o ângulo azimutal sendo $\theta \in [0, 2\pi]$.

2.1.2 Diagrama

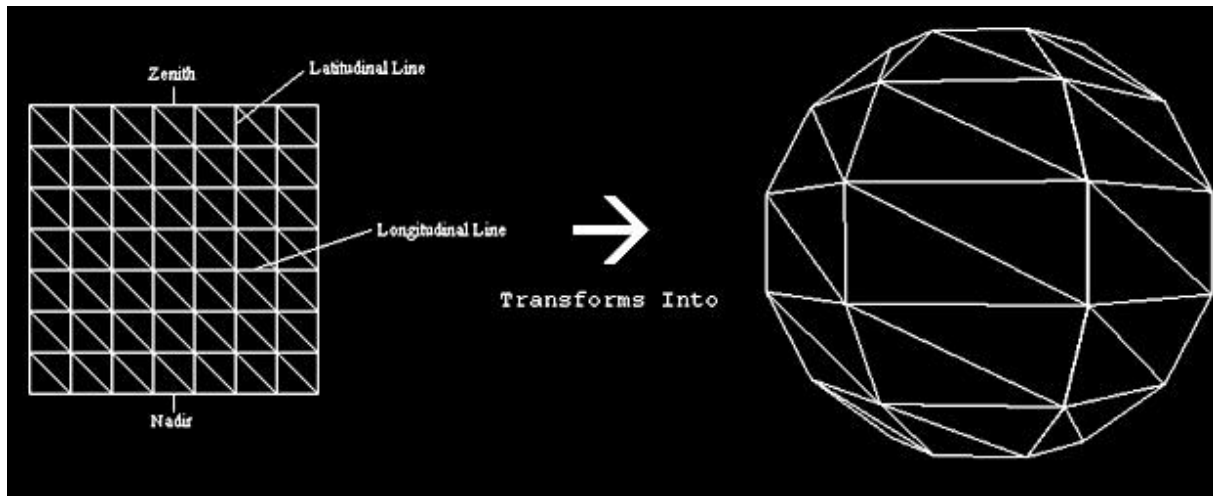


Figura 1: Objetivo do algoritmo de construção de esfera

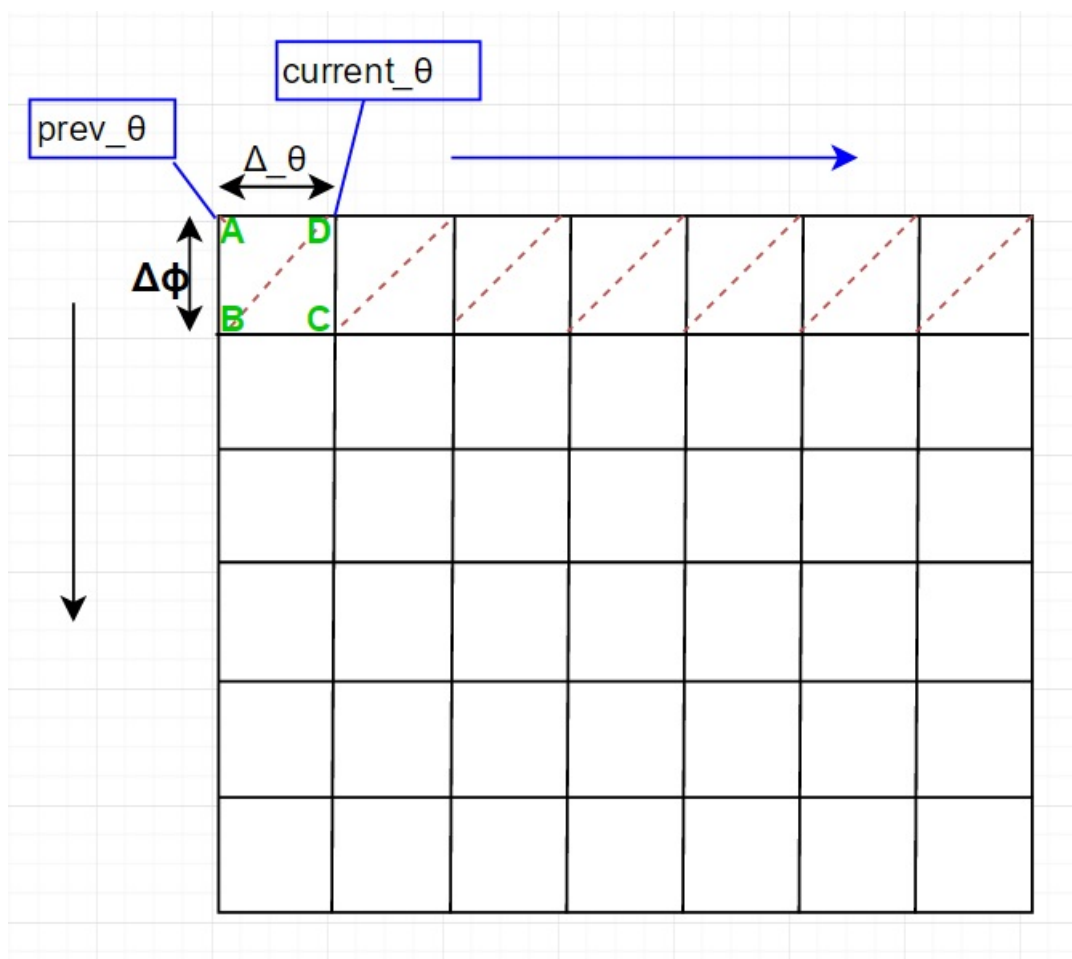


Figura 2: Diagrama de representativo de construção de esfera

No *Figura 2* pode-se ver uma matriz, que representa a esfera nos graus de ϕ e θ para

6 *stacks* e 7 *slices*. Assim como um mapa representativo da Terra, pretende-se mostrar os pontos se a esfera fosse aplanada (ver *Figura 19*).

Em cada quadricula são calculados 4 pontos iniciais, com base nos cálculos apresentados pelo fórmula anterior. Note-se que, se usou duas variáveis para guardar o ϕ anterior e o ϕ corrente, e θ anterior e θ corrente. Adicionalmente é calculada a diferença de graus entre *slices* e *stacks*, representados por $\Delta\phi$ e $\Delta\theta$, respetivamente.

A intenção é calcular cada quadricula para cada linha e coluna, com auxilio das diferenças dos ângulos e à medida que se avança em cada quadricula, guardar o último grau calculado (ϕ e θ) e calcular nos pontos com o incremento nestes ângulos. Assim desloca-se para a direita na matriz, conforme θ avança de 0 para 2π e para baixo, conforme ϕ avança de $\frac{\pi}{2}$ para $-\frac{\pi}{2}$ (sentido dos ponteiros do relógio). O *Algoritmo 1* representa este processo e a *Figura 3* demonstra o que se mencionou.

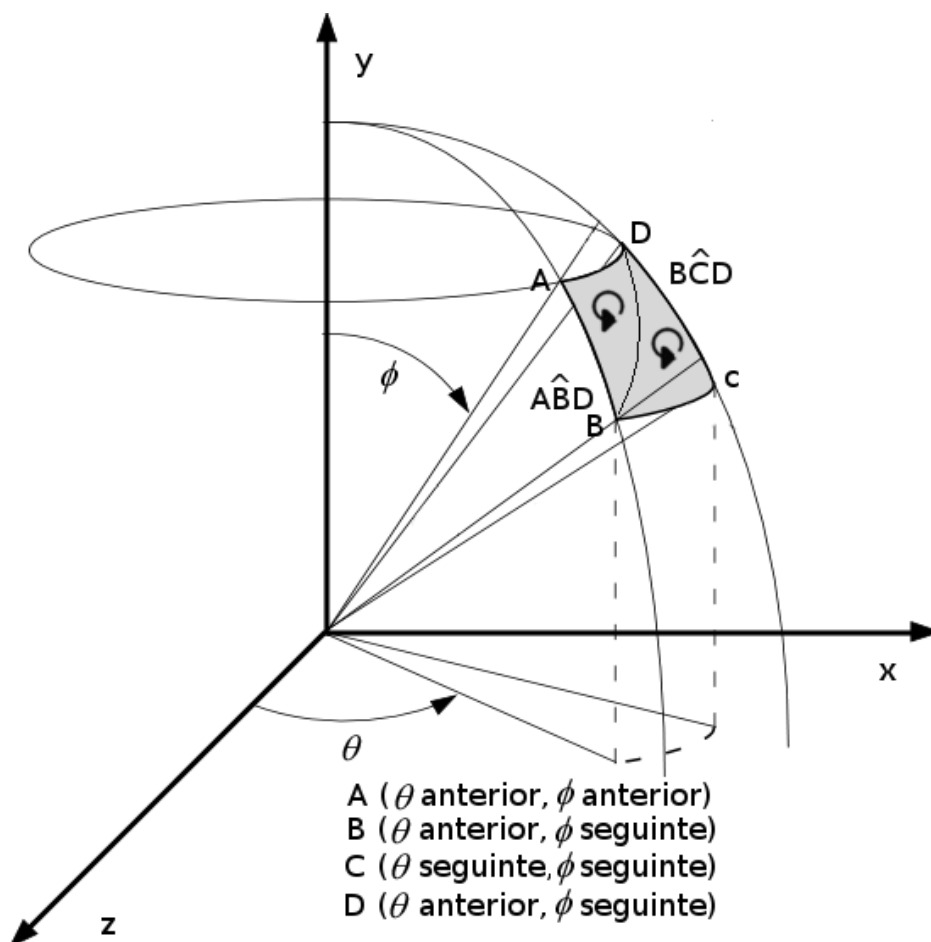


Figura 3: Diagrama de construção de esfera, com eixos, ordem do vértices e ângulos

O resultado pode-se ver na *Figura 4*, que demonstra uma esfera em *wireframe* gerada com a aplicação.

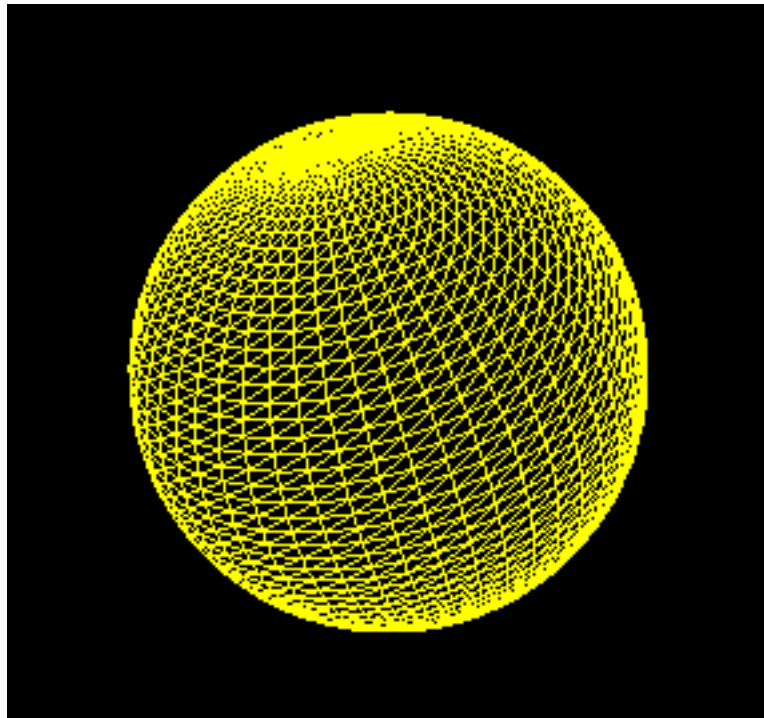


Figura 4: Esfera gerada

Algoritmo 1 Esfera

```
1:  $\Delta_\theta \leftarrow \frac{2\pi}{slices}$ 
2:  $\Delta_\phi \leftarrow \frac{2\pi}{stacks}$ 
3:  $prev_\phi \leftarrow \frac{\pi}{2}$ 
4:  $current_\phi \leftarrow prev_\phi - \Delta_\phi$ 
5:  $i \leftarrow 0$ 
6: while  $i \leq stacks$  do
7:    $prev_\theta \leftarrow 0$ 
8:    $current_\theta \leftarrow \Delta_\theta$ 
9:    $j \leftarrow 0$ 
10:  while  $j \leq slices$  do
11:     $PontoA \leftarrow raio * \cos(prev_\phi) * \sin(prev_\theta), raio * \sin(prev_\phi), raio * \cos(prev_\phi) * \cos(prev_\theta)$ 
12:     $PontoB \leftarrow raio * \cos(current_\phi) * \sin(prev_\theta), raio * \sin(current_\phi), raio * \cos(current_\phi) * \cos(prev_\theta)$ 
13:     $PontoC \leftarrow raio * \cos(prev_\phi) * \sin(current_\theta), raio * \sin(prev_\phi), raio * \cos(prev_\phi) * \cos(current_\theta)$ 
14:     $PontoD \leftarrow raio * \cos(current_\phi) * \sin(current_\theta), raio * \sin(current_\phi), raio * \cos(current_\phi) * \cos(current_\theta)$ 

15:     $Triangulo(PontoA, PontoB, PontoD)$ 
16:     $Triangulo(PontoB, PontoC, PontoD)$ 

17:     $prev_\theta \leftarrow current_\theta$ 
18:     $current_\theta \leftarrow current_\theta + \Delta_\theta$ 

19:     $j \leftarrow j + 1$ 
20:     $prev_\phi \leftarrow Current_\phi$ 
21:     $current_\phi \leftarrow Current_\phi - \Delta_\phi$ 
22:     $i \leftarrow i + 1$ 
```

▷ Guardado em ficheiro

▷ Guardado em ficheiro



2.2 Disco

Nesta secção descreve os procedimentos usados para desenvolver um disco. A motivação para o desenvolvimento desta figura provém da necessidade de representar os anéis que rodeiam os planetas Saturno e Úrano.

2.2.1 Análise do Problema

Existem certos elementos do sistema solar, que são característicos de um modelo do mesmo: anéis e órbitas. Apesar do significado de ambos ser diferente, ambos podem ser desenhados com o mesmo objeto, variando apenas no raio interno e externo.

Com efeito, requer-se para este projeto que se criem discos de vários tamanhos para os anéis de Saturno e Neptuno, e para as órbitas de cada planeta. Note-se que cada anel tem que ter alguma espessura, uma vez que, num plano, no *OpenGL* não se consegue ver o objeto. Assim cada disco terá duas circunferências, uma interior e outra exterior, com raio interno e externo respetivamente. Assim, as duas circunferências têm os mesmos pontos xx e zz mas com uma distancia fixa no eixo yy .

A fórmula para desenhar uma circunferência está representada na *Equação 2*

$$\begin{cases} x = \sin(\theta) * r \\ z = \cos(\theta) * r \end{cases} \quad (2)$$

Nesta secção apresentam-se diagramas que explicam o processo de criação de uma disco.

A *Figura 5* representa a forma como a iteração será feita, bem como apresenta de lado a espessura do disco.

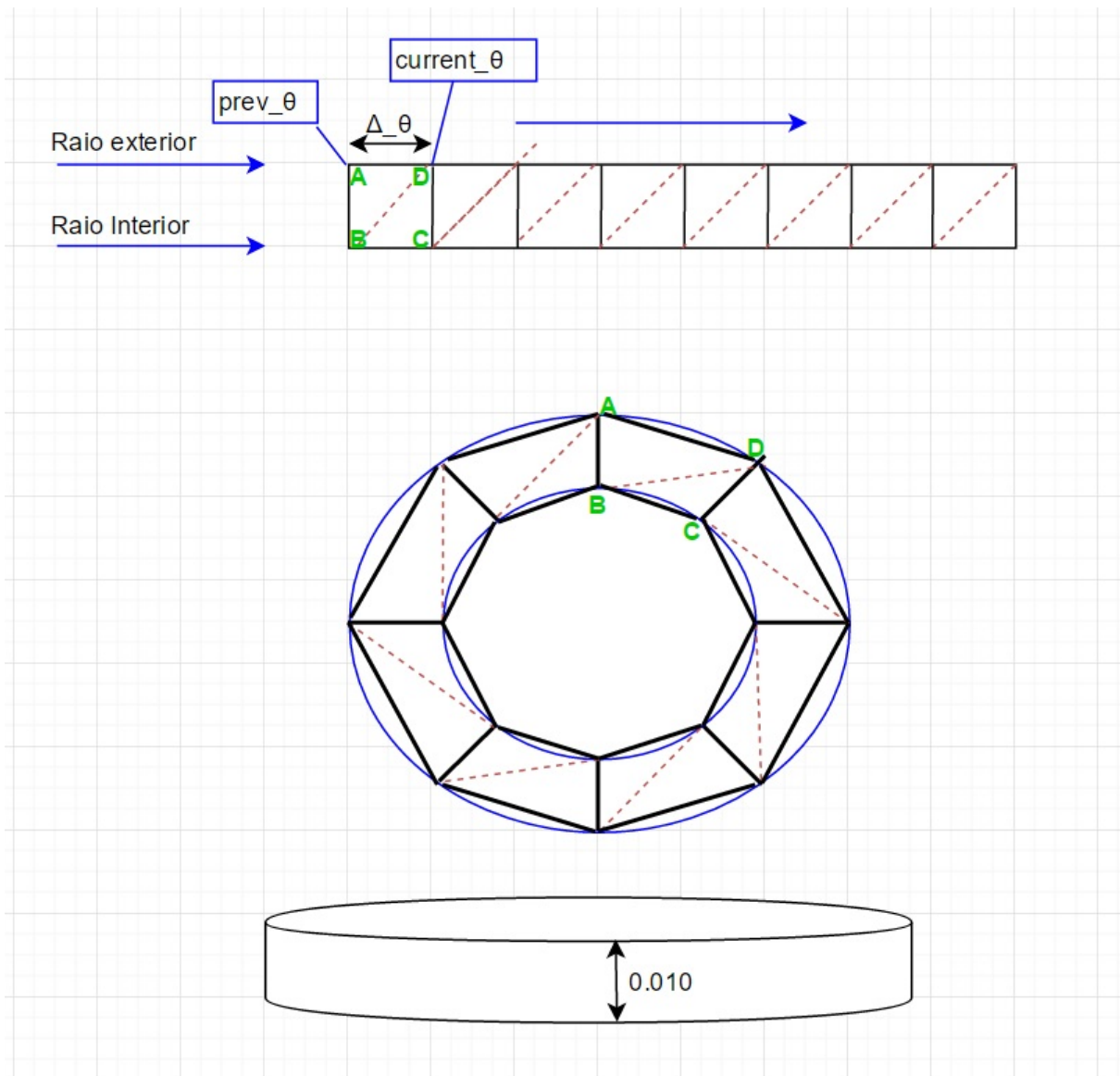


Figura 5: Diagrama Disco

Como se pode verificar o diagrama é relativamente semelhante ao da esfera. A matriz aqui observada apenas tem uma linha porque não se consideram *stacks* na representação do disco. As 8 colunas que representam as 8 *slices* (estas 8 slides servem meramente para propósitos exemplificativos).

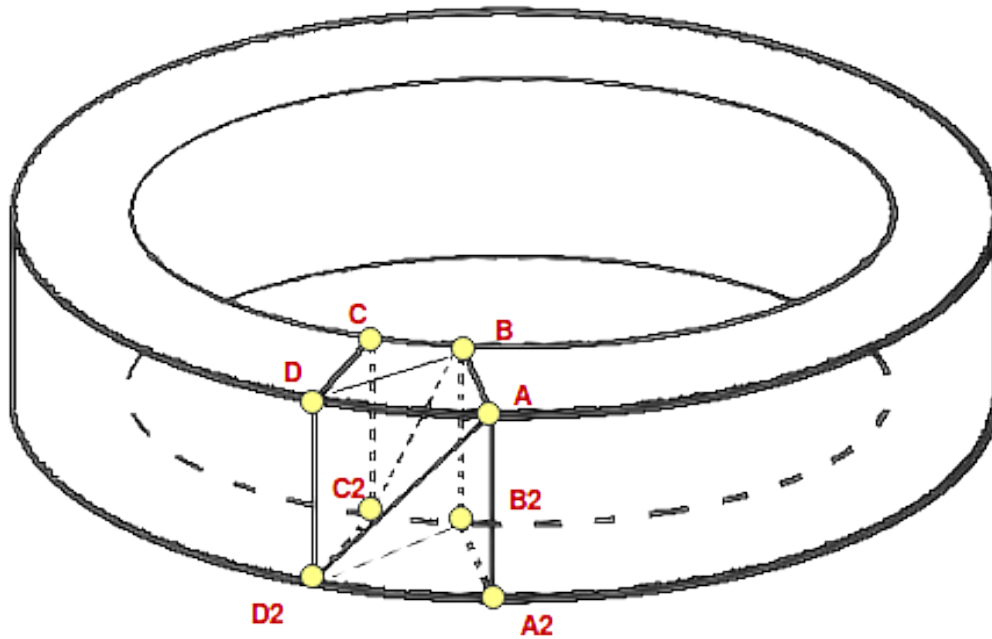


Figura 6: Pormenor dos vértices para desenho de um disco

Como se pode observar, o raciocínio é desenhar quadricula a quadricula com dois triângulos cada, neste exemplo verifica-se que a primeira quadricula é constituída pelos triângulos ABD e BCD. As coordenadas de cada ponto (vértice dos triângulos) são calculados com o auxílio das variáveis angulares $prev_θ$ e $current_θ$ usando a formulação das coordenadas esféricas. A diferença entre esta é o comprimento/largura da quadricula que corresponde a $\frac{2\pi}{slices}$.

Ora este processo é referente à face superior do disco. Para desenhar a face inferior faz-se o mesmo processo mas com outros vértices equivalentes nos eixos xx e zz mas com uma diferença fixa de $0.010\ yy$ para representar a altura.

Quanto à face lateral do disco o processo é idêntico ao representado na matriz acima, mas enquanto que, para representar tanto a face superior como a inferior, os pontos usados têm todos o mesmo valor yy , para representar o lado do disco usa-se uma combinação dos pontos de ambas as faces.

Este processo está representado no *Algoritmo 2*, e um resultado figura na *Figura 7* e na *Figura 8*.

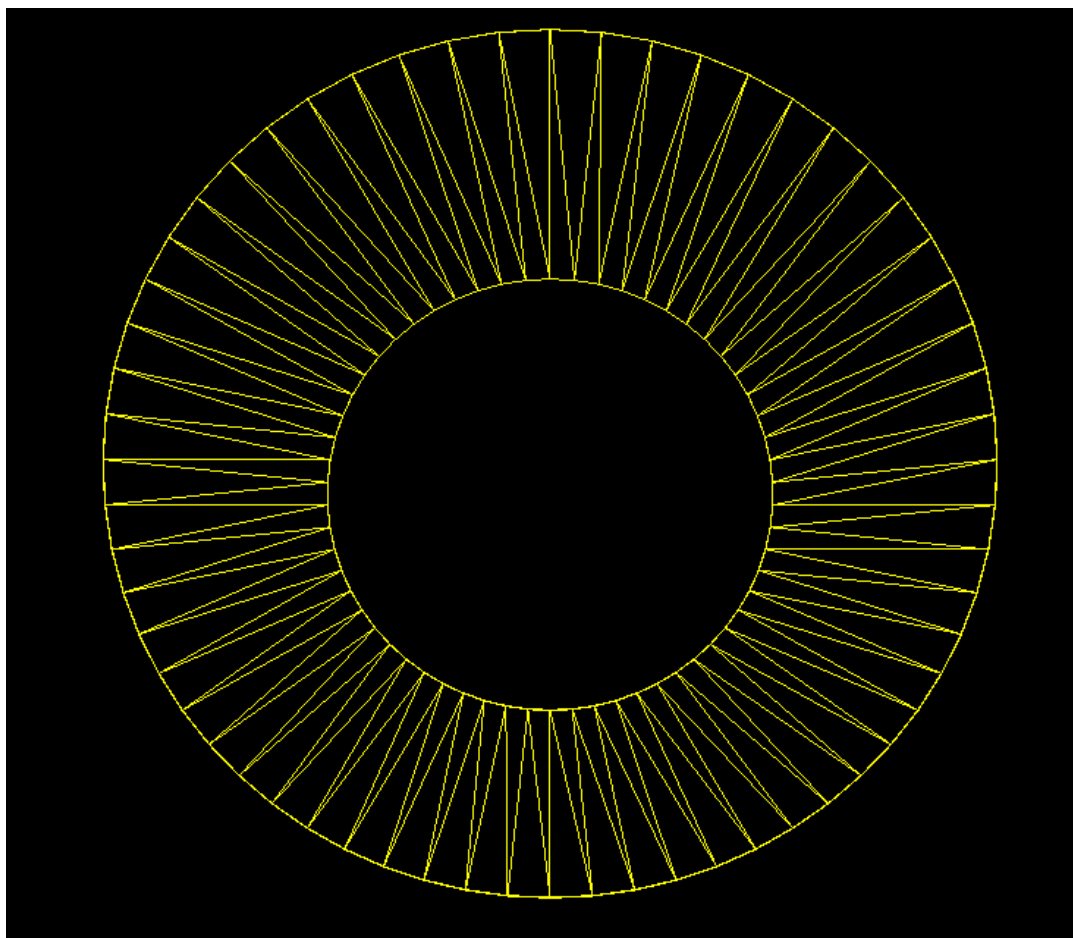


Figura 7: Resultado de um disco em *wireframe*, visto de baixo

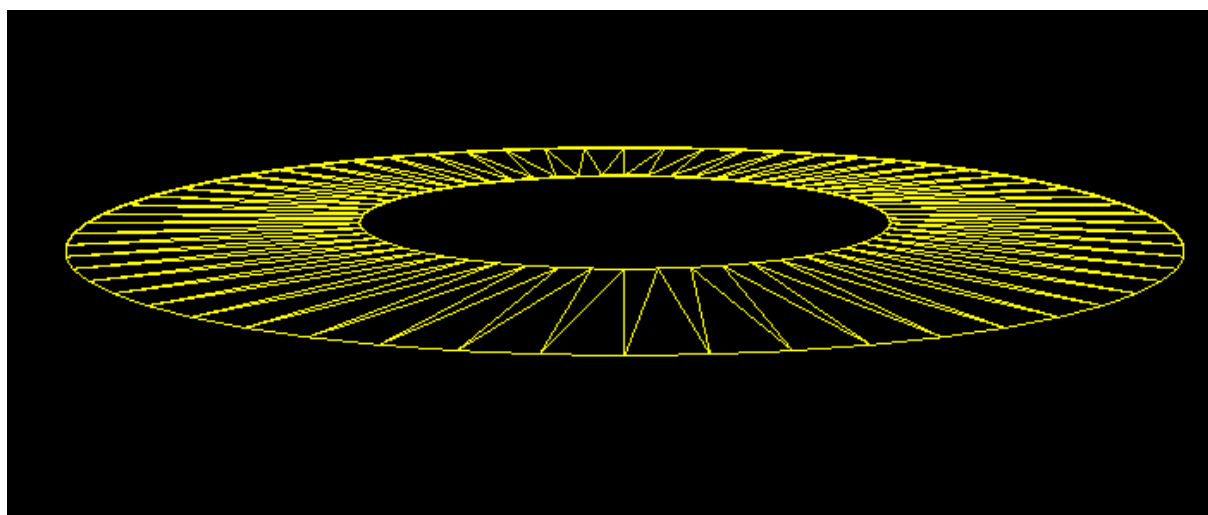


Figura 8: Resultado de um disco em *wireframe*, visto de outro ângulo

Algoritmo 2 Disco

```
1:  $\Delta_\theta \leftarrow \frac{2\pi}{slices}$ 
2:  $prev_\theta \leftarrow 0$ 
3:  $current_\theta \leftarrow \Delta_\theta$ 
4:  $i \leftarrow 0$ 
5: while  $i \leq slices$  do
6:    $PontoA \leftarrow raioOut * \sin(prev_\theta), 0.005, raioOut * \cos(prev_\theta)$ 
7:    $PontoB \leftarrow raioIn * \sin(prev_\theta), 0.005, raioIn * \cos(prev_\theta)$ 
8:    $PontoC \leftarrow raioIn * \sin(current_\theta), 0.005, raioIn * \cos(current_\theta)$ 
9:    $PontoD \leftarrow raioOut * \sin(current_\theta), 0.005, raioOut * \cos(current_\theta)$ 
10:   $PontoA2 \leftarrow raioOut * \sin(prev_\theta), -0.005, raioOut * \cos(prev_\theta)$ 
11:   $PontoB2 \leftarrow raioIn * \sin(prev_\theta), -0.005, raioIn * \cos(prev_\theta)$ 
12:   $PontoC2 \leftarrow raioIn * \sin(current_\theta), -0.005, raioIn * \cos(current_\theta)$ 
13:   $PontoD2 \leftarrow raioOut * \sin(current_\theta), -0.005, raioOut * \cos(current_\theta)$ 

14:   $Triangulo(PontoD, PontoB, PontoA)$ 
15:   $Triangulo(PontoC, PontoB, PontoD)$ 

16:   $Triangulo(PontoA2, PontoB2, PontoD2)$ 
17:   $Triangulo(PontoD2, PontoB2, PontoC2)$ 

18:   $Triangulo(PontoA2, PontoA, PontoD2)$ 
19:   $Triangulo(PontoD, PontoD2, PontoA)$ 

20:   $Triangulo(PontoB, PontoC2, PontoB2)$ 
21:   $Triangulo(PontoC, PontoC2, PontoB)$ 
22:   $prev_\theta \leftarrow current_\theta$ 
23:   $current_\theta \leftarrow current_\theta + \Delta_\theta$ 
24:   $i \leftarrow i + 1$ 
```

- ▷ Lado de cima
- ▷ Guardado em ficheiro
- ▷ Guardado em ficheiro
- ▷ Lado de baixo
- ▷ Guardado em ficheiro
- ▷ Guardado em ficheiro
- ▷ Lado de externo
- ▷ Guardado em ficheiro
- ▷ Guardado em ficheiro
- ▷ Lado de interno
- ▷ Guardado em ficheiro
- ▷ Guardado em ficheiro



2.3 Patch de Bézier baseado em ficheiro de pontos de controlo

2.3.1 Análise do Problema

Para este projeto, requiere-se que se obtenha pontos de controlo de uma superfície de Bézier, através de um ficheiro *teapot.patch*, para a construção de um bule de chá, para a representação de um cometa. O formato de ficheiro é o que se segue:

1. Número de *patches*;
2. Índices para *patches* (16 por linha, tantas linhas como nº de *patches*);
3. Número de pontos de controlo;
4. Ponto de controlo (coord. x, y, z) por linha, tantas linhas como nº de pontos de controlo;

Para armazenar os dados do ficheiro, criou-se uma estrutura com dois valores inteiros (nº *patches* e nº de pontos), um vetor de vetores de inteiros, para armazenar os valores dos índices e um vetor de `Point3d` para armazenar os pontos de controlo. Além do mais, requiere-se que se passe um valor de tecelagem (*tessellation*), para controlo da malha a criar.

A função de leitura separa o *parsing* de cada elemento no formato descrito atrás à custa de uma *flag*. Note-se que o ficheiro original tinha todos os valores separados por vírgulas, pelo que, por uma questão de eficiência, removeram-se as vírgulas, deixando os valores separados por espaços. Deste modo, é possível utilizar as funcionalidades da linguagem de programação em uso C++ e saltar espaços ao ler o ficheiro. Uma outra nota sobre o uso de funcionalidades da linguagem, dado que se está a usar `vector` para armazenamento de pontos e índices, o nº de *patches* e o nº de pontos, recebidos do ficheiro não são utilizados.

Além do mais, por uma questão de legibilidade e facilidade de manutenção do código, foram criados dois tipos de dados (`MatrixF` e `MatrixP`, escalares de vírgula flutuante e pontos 3D), criados às custas de vetores de vetores, para guardar valores na forma matricial. Com efeito, uma `MatrixP` guarda os pontos de controlo de uma superfície de Bézier (matriz de pontos 4×4).

A função `drawPatch`, trata do processamento de leitura de transformação dos valores lidos em ficheiro num vetor de `MatrixP`, onde por último, para cada matriz armazenada no vetor anterior, para um valor de *i* e um valor de *j* dividido pela tecelagem, iterando cada um desses valores entre 0 e o valor da tecelagem, cria-se 4 pontos da superfície de Bézier, para cada iteração, que formem uma quadricula conforme mostra a *Figura 11*, onde são retirados os triângulos e armazenados num ficheiro 3d, todos os vértices calculados. Para calcular cada ponto da superfície de Bézier, é utilizada a função `getBezierPatchPoint`, que recebe um valor de *u*, *v* e uma matriz de pontos de controlo.

2.3.1.1 Curvas de Bézier Uma curva Bézier pode ser definida por um qualquer numero de pontos, pontos estes chamados pontos de controlo da curva. Transformações como translação e rotação podem ser aplicadas na curva manipulando estes pontos.

O algoritmo de *De Casteljeau* oferece uma forma de calcular uma curva, baseada em 4 pontos de controlo, onde um parâmetro $t \in [0, 1]$ varia, e um ponto é obtido t e $1 - t$ entre cada reta de cada ponto de controlo. Cada ponto intermédio (3 pontos em simultâneo, um em cada reta, para cada variação de t), conecta com cada um dos 3 pontos anteriormente mencionados, criando duas retas com t a variar de igual modo, nas retas como nas retas dos pontos iniciais. Em seguida, para cada variação de t das duas retas, dois pontos interseitam-se, e, por último, para cada variação de t , nesta última reta, temos um ponto da curva de Bézier. Note-se que t varia em simultâneo, para todas as retas iniciais e intermédias. A *Figura 9*, e *Figura 10* ilustram esta explicação.

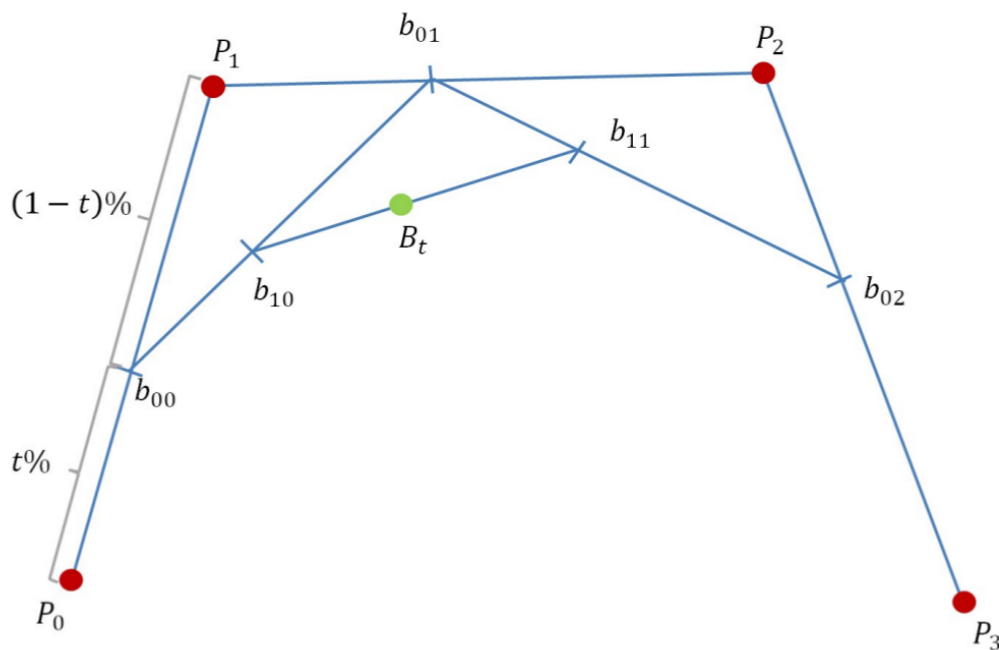


Figura 9: Algoritmo geométrico *De Casteljeau*

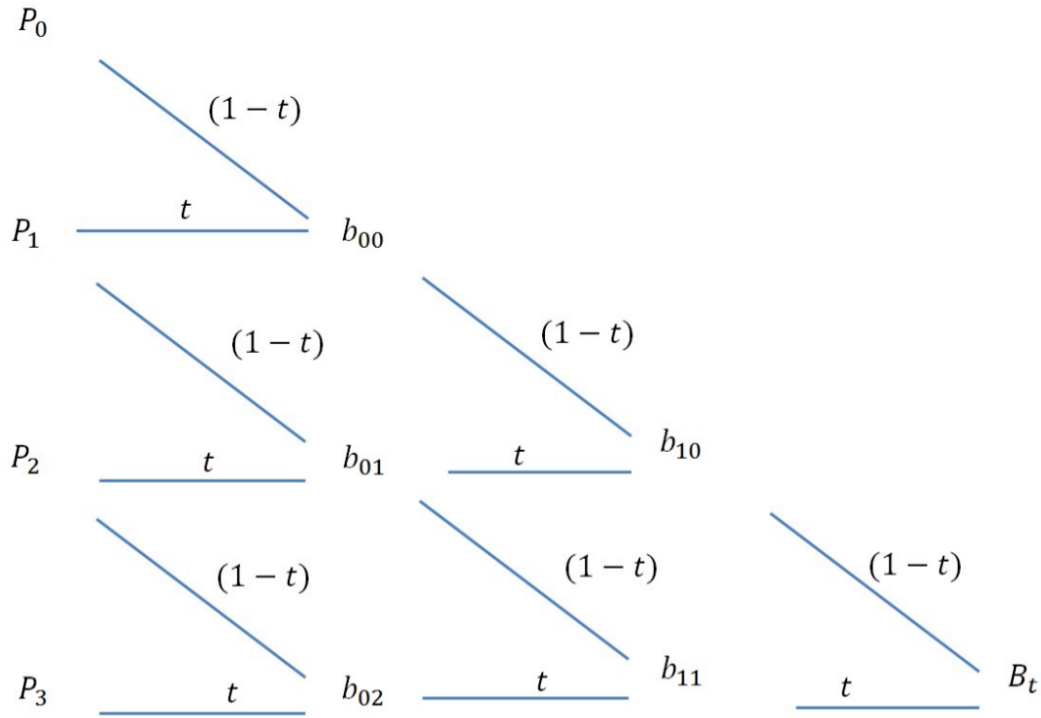


Figura 10: Representação da iteração em cada reta entre pontos referente à Figura 9

A partir da Figura 10 é derivada a Equação 3.

$$B(t) = t^3 P_3 + 3t^2(1-t)P_2 + 3t(1-t)^2 P_1 + (1-t)^3 P_0 \quad (3)$$

De uma forma mais condensada, a equação anterior pode ser representada como na Equação 4

$$B(t) = \sum_{k=0}^3 B_{3,k}(t)P_k \quad (4)$$

Note-se que a equação anterior é uma particularização de curva cúbica de Bézier, podendo uma curva de Bézier, ter n graus onde n corresponde a $(n^\circ \text{ pontos de controlo} - 1)$, e $t \in [0, 1]$ e o seu somatório é sempre igual a 1, tomando a forma genérica da Equação 5.

$$B(t) = \sum_{k=0}^n B_{n,k}(t)P_k \quad (5)$$

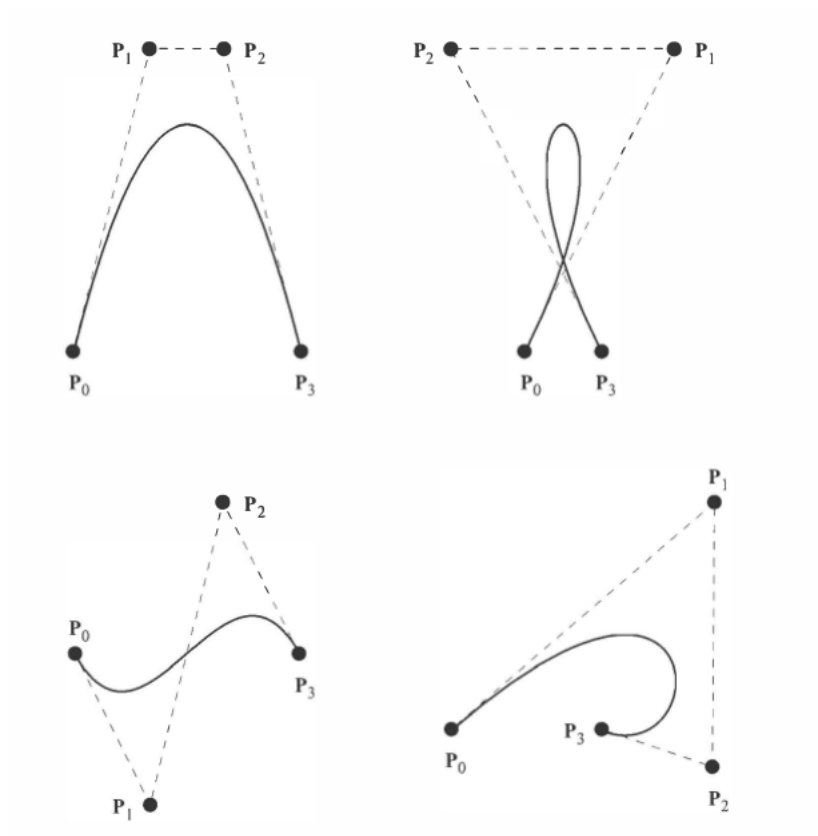


Figura 11: Curvas exemplo de Bézier

A Equação 3 pode ser representada na forma matricial segundo a Equação 6.

$$B(t) = \begin{bmatrix} t^3 & t^2 & t & 1 \end{bmatrix} \begin{bmatrix} -1 & 3 & -3 & 1 \\ 3 & -6 & 3 & 0 \\ -3 & 3 & 0 & 0 \\ 1 & 0 & 0 & 0 \end{bmatrix} \begin{bmatrix} P_0 \\ P_1 \\ P_2 \\ P_3 \end{bmatrix} \quad (6)$$

2.3.1.2 Superfícies de Bézier (*patches de Bézier*) Se se tiver um *array* bi-dimensional de pontos $P_{i,j}$, com $i \in [0, m]$, e $j \in [0, n]$, então pode-se construir uma superfície Bézier da mesma forma usando um método similar a uma curva cúbica de Bézier. Neste caso, ao invés de um parâmetro, existem dois (u e v), onde $u \in [0, 1]$ e $v \in [0, 1]$. Uma superfície de Bézier bi-cúbica ($m=n=3$), dado que tem por base curvas cúbicas de Bézier definidas por 4 pontos de controlo, uma vez que é bi-dimensional, é definida por 16 pontos de controlo $P_{i,j}$, e representa-se pela *Equação 7*. Um exemplo de uma superfície de Bézier está na *Figura 12*

$$B(u, v) = \sum_{j=0}^3 \sum_{i=0}^3 B_i(u) P_{i,j} B_j(v) \quad (7)$$

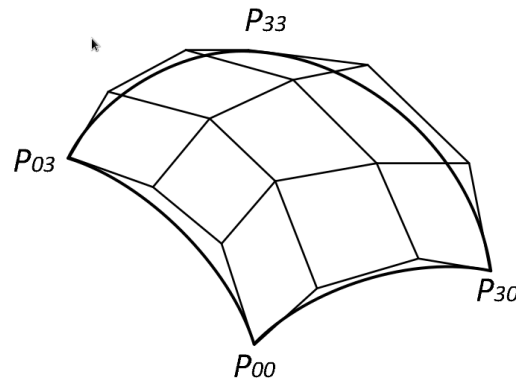


Figura 12: Superfície de Bézier bi-cúbica

Temos que:

$$M = \begin{bmatrix} -1 & 3 & -3 & 1 \\ 3 & -6 & 3 & 0 \\ -3 & 3 & 0 & 0 \\ 1 & 0 & 0 & 0 \end{bmatrix}$$

O parâmetros u e v estão entre 0 e 1, à semelhança do parâmetro t da função para uma curva de Bézier, onde M é a matriz dos coeficientes obtida da *Equação 3*. A explicação para a obtenção de um ponto numa superfície de Bézier, e, grosso modo, análoga à obtenção de um ponto numa curva de Bézier, sendo que neste caso, estão dois parâmetros a variar entre 0 e 1, criando uma malha de com curvas de Bézier, conforme está na *Figura 12*. Derivando a *Equação 7* obtém-se a representação matricial na *Equação 8*.



$$B(u, v) = \begin{bmatrix} u^4 & u^2 & u & 1 \end{bmatrix} M \begin{bmatrix} P_{00} & P_{01} & P_{02} & P_{03} \\ P_{10} & P_{11} & P_{12} & P_{13} \\ P_{20} & P_{21} & P_{22} & P_{23} \\ P_{30} & P_{31} & P_{32} & P_{33} \end{bmatrix} M^T \begin{bmatrix} v^3 \\ v^2 \\ v^1 \\ v^0 \end{bmatrix} \quad (8)$$

2.3.1.3 Função `getBezierPatchPoint` Antes de descrever a função `getBezierPatchPoint` é necessário descrever algumas funções criadas para utilizar nessa função.

Para cálculos com valores escalares de vírgula flutuante, nomeadamente multiplicação de matrizes, criou-se a função `multMatrix` que multiplica duas matrizes. Para obter um cálculo correto, são obtidas as dimensões das matrizes (nº de linhas e nº de colunas), tal que, as dimensões para uma dada matriz M1 são $m \times n$, e as dimensões para uma dada matriz M2 são $p \times q$. Para obtenção da matriz resultado, tem-se em conta o nº de linhas da matriz M1 (m) e o nº de colunas da matriz M2 (q), onde a matriz resultante terá uma dimensão $m \times q$. Note-se que os valores n — nº de colunas da matriz M1 — e p — nº de linhas da matriz M2 têm que ser iguais. No entanto, essa verificação não é feita no código, no entanto, assume-se que o programador sabe da especificação desta função. Para guardar o valor da multiplicação de matrizes (somatório da multiplicação das linhas com as colunas), usa-se um acumulador de resultado, fazendo variar um índice k, entre 0 e p (que poderia ser n).

A função `matrixPointToScalar` obtém as coordenadas de x, ou de y, ou de z, da matriz de pontos de controlo e armazena esses valores numa matriz de escalares.

A função `getBezierPatchPoint` utiliza a *Equação 8*, sendo o código amigável na sua leitura e interpretação, uma vez que abstrai detalhes de implementação através dos tipos de matrizes já mencionados. Em primeiro lugar, a função calcula a matriz U e a matriz V, com os parâmetros u e v respetivos, conforme a equação. A segunda parte do algoritmo é multiplicar a matriz U por M, e a matriz M^T por V e guarda cada resultado numa matriz. Note-se que, $M = M^T$, então a matriz M é reutilizada.

Para calcular o ponto da superfície de Bézier, é necessário obter cada coordenada dos pontos de controlo, sendo que a matriz de escalares da coordenada x será para calcular a coordenada x do ponto da superfície, a matriz de escalares da coordenada y será para calcular a coordenada y do ponto da superfície e a matriz de escalares da coordenada z será para calcular a coordenada z do ponto da superfície. Cada matriz de escalares é multiplicada pelo resultado de UM , e o resultado desta, com o resultado de M^TV ou MV . As matrizes resultantes destas operações são matrizes com dimensão 1×1 , com cada valor da coordenada x, y e z do ponto da superfície. Essas coordenadas são guardadas num `Point3d` que é retornado pela função.

Os resultados da aplicação do algoritmo para uma tecelagem de 50 podem ser vistos nas figuras abaixo.

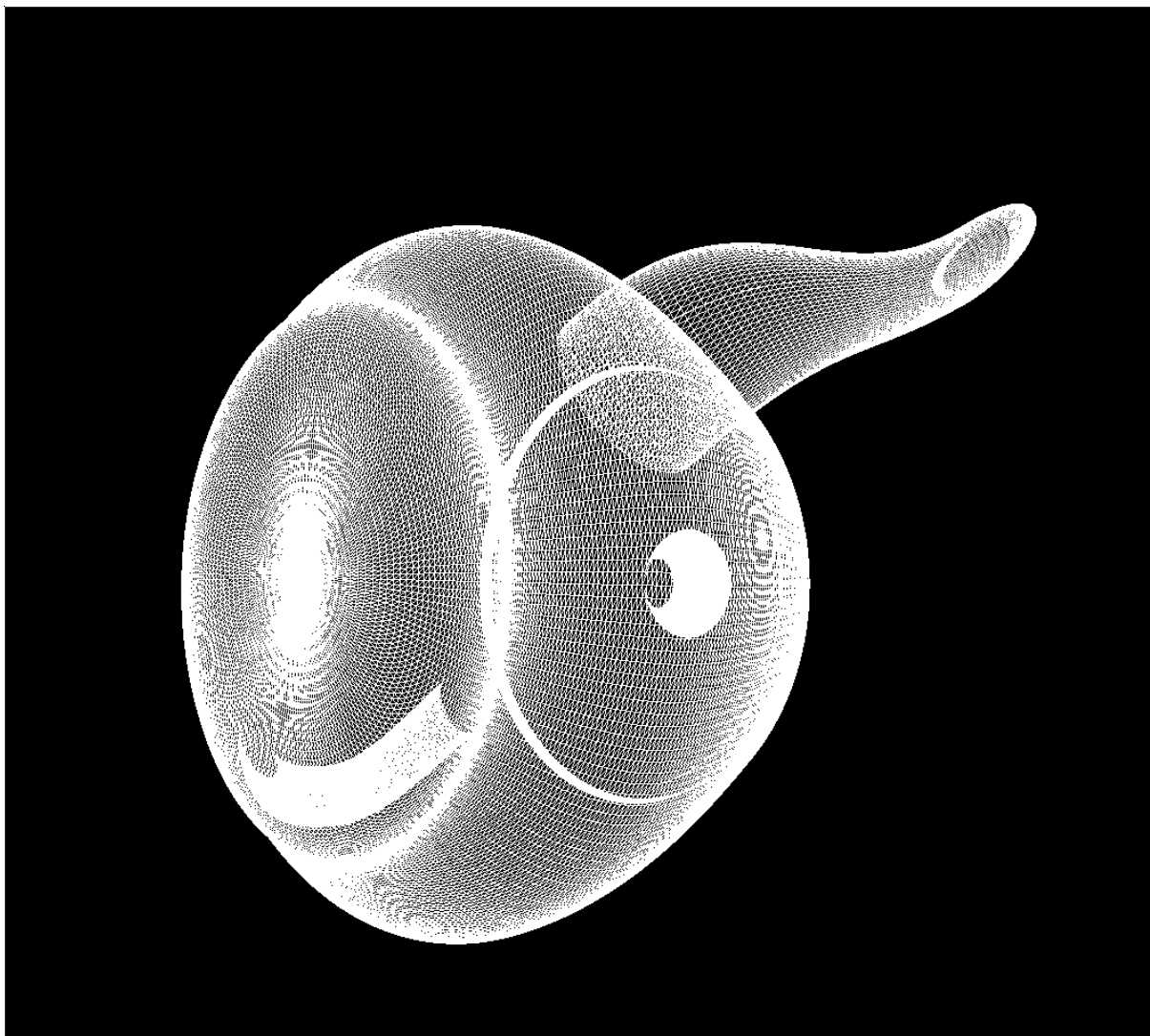


Figura 13: Bule visto de baixo

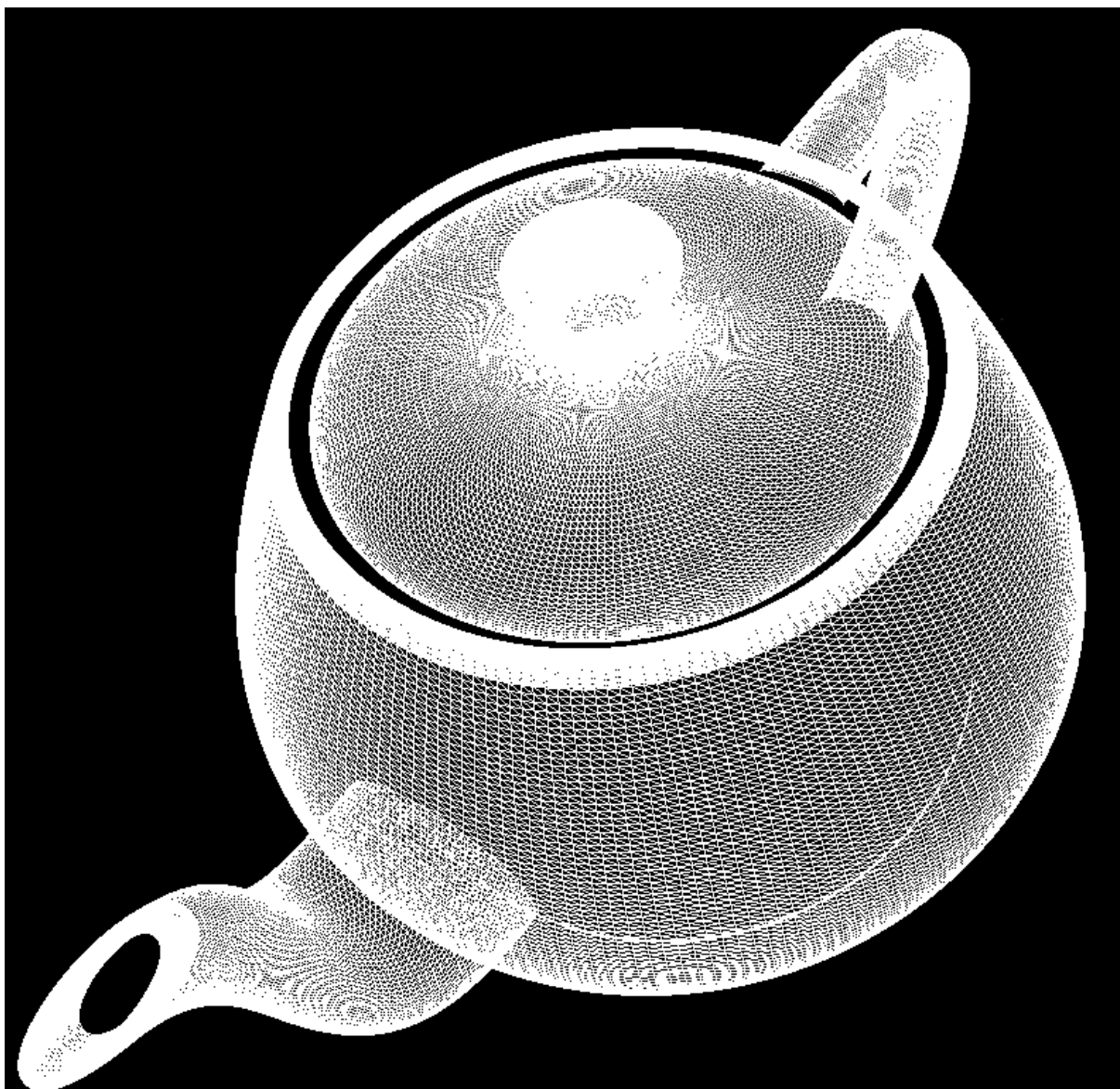


Figura 14: Bule visto de cima

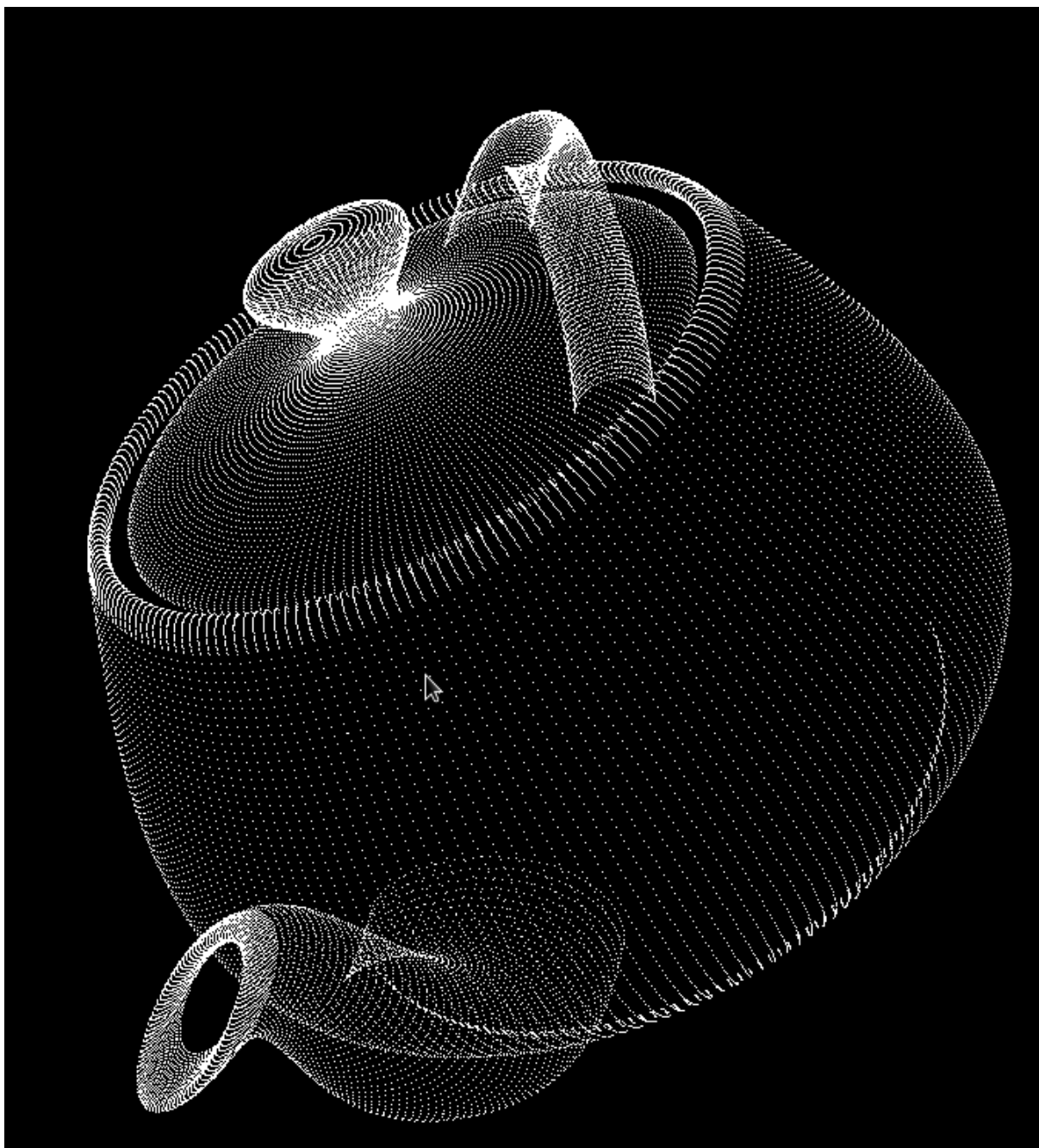


Figura 15: Pontos da superfície do bule



3 Motor

Nesta secção pretende-se descrever três pontos essenciais desta fase: as estruturas de dados, algoritmos e processos de *rendering*. Note-se que o foco do *rendering* será o uso de *vertex array objects* por oposição ao modo imediato de forma a obter uma maior eficiência.

3.1 *Vertex Array Objects*

O OpenGL possibilita dois modos de renderização: o modo imediato e o *vertex buffer objects* (VBOs). Os VBOs permitem um ganho substancial de performance, uma vez que os dados são logo enviados para a memória da placa gráfica onde residem, e por isso podem ser renderizados diretamente da placa gráfica. O modo imediato usa a memória do sistema onde os dados são inseridos *frame a frame*, usando uma API de renderização, o que causa peso computacional sobre o processador.

Para a utilização das VBO's é necessário recorrer a criação de *arrays* com os dados para renderizar geometria. Com efeito, é necessário, em primeiro lugar, ativar os *arrays* com os diferentes tipos de dados e colocar os dados num *buffer object*. Estes *arrays* são acedidos pelo seu endereço individual da sua localização em memória, sendo então desenhadas as figuras geométricas dos respetivos conteúdos dos *arrays*.

Note-se que, no OpenGL, qualquer inteiro sem sinal pode ser usado como um identificador de *buffer object*. Estes identificadores podem-se armazenados numa estrutura, sendo necessário, em seguida, gerar *buffers* para os vértices (um *buffer* para cada *array* com vértices — `glGenBuffers`) e ativar cada *buffer* pelo seu identificador (`glBindBuffer`) e preencher o *buffer* com os dados de cada *array* de vértices previamente mencionados.

Para desenhar, a figura geométrica é necessário definir a semântica, ou seja, definir o *offset* relativo ao início do buffer (`glVertexPoint`), consoante o tipo de dados, fazer o bind do objecto apropriado para fazer a renderização e renderizar os arrays de vertices usando a função adequada (`glDrawArrays` ou `glDrawElements`).

Para utilizar a tecnologia dos VBO's criou-se uma estrutura `Models`, que para além de ser composta por um apontador para a raiz da árvore *n-ária* que será mencionada na próxima secção, possui um vetor de `GLuint` para armazenar os identificadores e uma tabela com os nomes dos ficheiros com os vértices para a geometria associadas a um tipo VBO, que é constituído pelo número de vértices do *vertex array* e o índice do *vertex array* no vetor de identificadores.

Para utilizar os VBO's, como descrito acima inicializou-se *buffer* com função `initBuffers`, após da leitura do ficheiro de vértices, ativando-o, gerando um *buffer* para um identificador, fazendo o *bind* de seguida e preenchendo o *buffer* com os dados.

Para renderizar os VBO's criou-se a função `drawVBO`, que faz o *bind* do *buffer* pelo índice



do *buffer* no tipo `VBO`, define a semântica, com o tamanho no tipo `VBO`. A função `drawElement`, procura um nome de ficheiro na tabela mencionada acima, e caso exista, aplica a função `drawVBO`.

3.2 Estruturas de Dados para Transformações

Como a estrutura do ficheiro XML é uma árvore *n-ária* escolheu-se uma estrutura que se seguiu a mesma lógica. Assim construiu-se um tipo de dados, a partir de um *struct* com vários campos para guardar os valores de cada grupo, onde se encontra um vetor de apontadores para outras estruturas deste tipo `Group`, como se pode ver na *Figura 16*. Além do mais, a estrutura base possui um vetor de *strings* para guardar os nomes de modelos que se encontrarem descritos no ficheiro XML. Existe também, um outro vetor para guardar apontadores de objetos do tipo `Transformation`, que representa de forma genérica qualquer transformação geométrica.

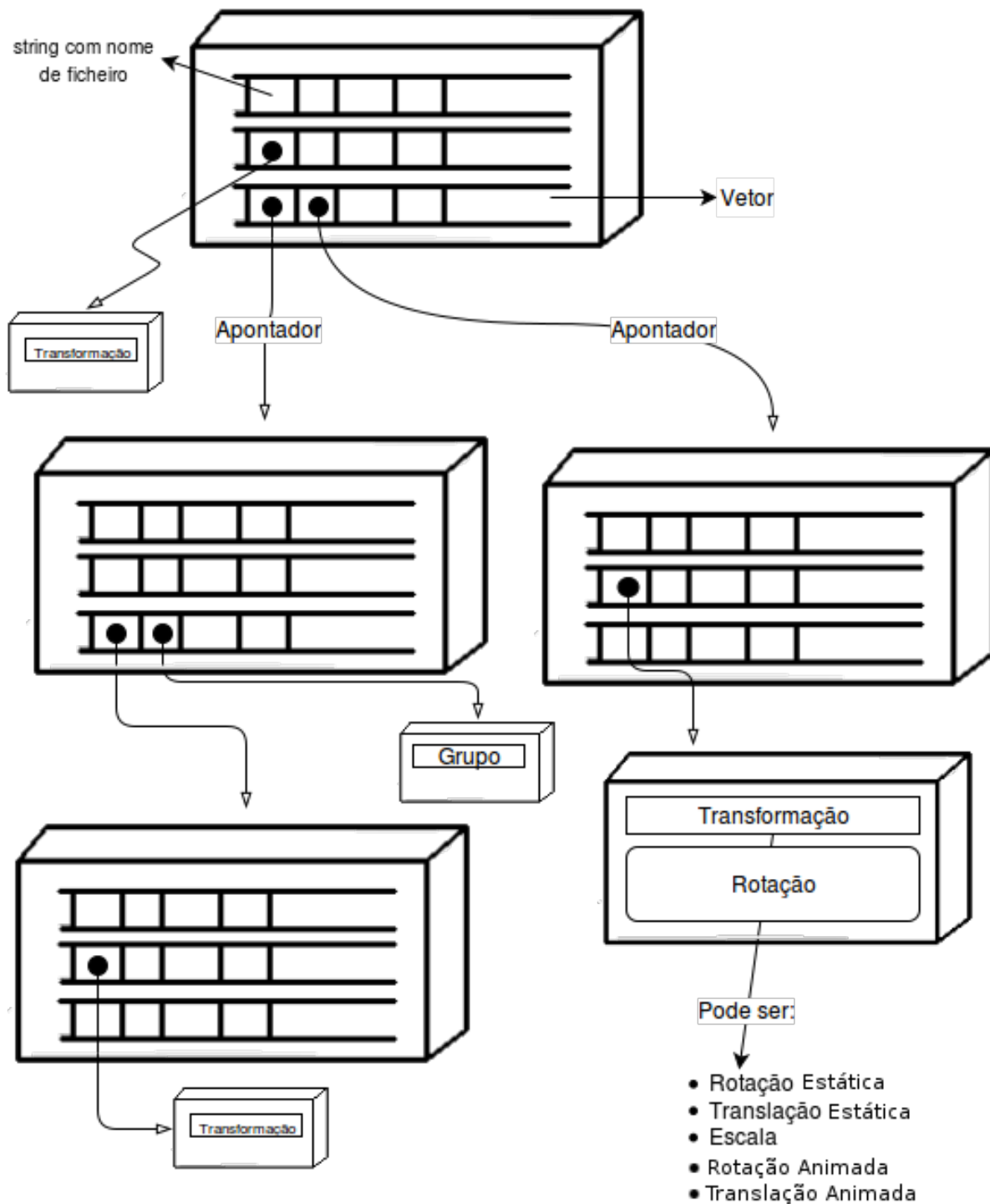


Figura 16: Árvore *n*-ária para armazenamento de grupos

Para a representação genérica de qualquer transformação geométrica, criou-se uma estrutura de classes, onde a classe *Transformation* funciona como superclasse abstrata, com cinco subclasses: *Rotation*, *Translation*, *Scale*, *AnimatedTranslation* e *AnimatedRotation*. A superclasse possui um método virtual para aplicação da transformação (*applyTransformation*), que é aplicado no contexto das suas subclasses quando invocado diretamente, ou como parte

da estrutura da hierarquia, à custa do polimorfismo que a linguagem de programação C++ permite. Esta hierarquia pode ser vista com mais detalhe na *Figura 17*. Parte da estrutura de classes é a classe `Point3d` que representa um triplo de `floats` para as coordenadas geométricas de um ponto em 3 dimensões. Adicionalmente a classe implementa alguns métodos para cálculos de pontos e vetores, embora o significado seja diferente entre estes dois conceitos. Algumas classes implementam vetores deste tipo.

Posteriormente as classes `AnimatedTranslation` e `AnimatedRotation` serão descritas com maior detalhe.

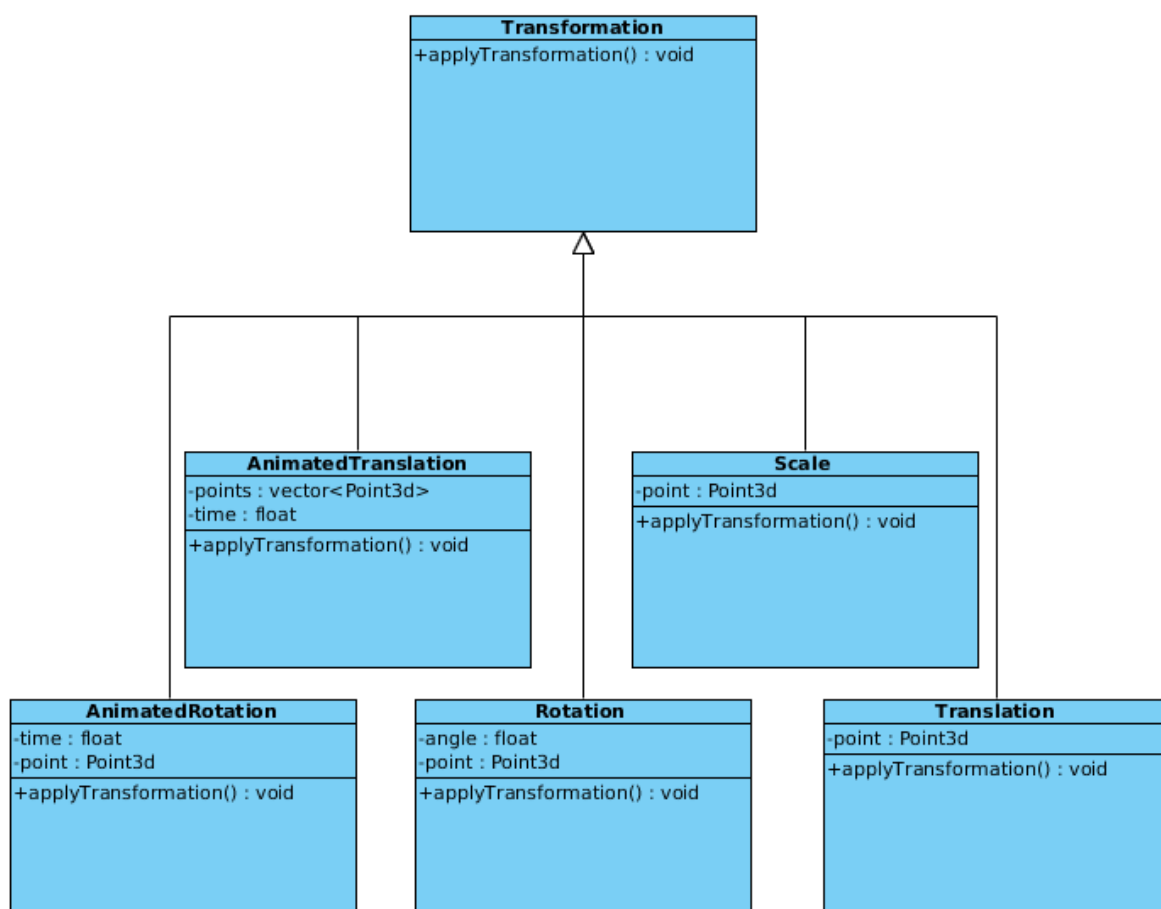


Figura 17: Hierarquia de classes de transformações geométricas

3.3 Descrição do processo de leitura

A função principal de leitura é a que está demonstrada no *Algoritmo 3* e representa parte do processo de leitura, no entanto decidiu-se remover partes acessórias de inicialização de estruturas e afins. Esta função serve-se da estrutura de apontadores da árvore que compõem a estrutura do documento XML para navegar na estrutura recursivamente.



Para além do apontador para a estrutura XML, passou-se por parâmetro um apontador para a estrutura *Models*, que contem um apontador para a raiz da árvore *n-ária* e uma tabela (ou mapa) com os valores das instâncias do tipo *VBO* para *rendering* com o nome do ficheiro associado (chave). Note-se que as estruturas em que se guardam valores dos elementos fazem todas parte de um *Group*, tanto como o vetor de *strings* com o valor dos ficheiros, bem como o vetor de transformações e outros *Group* no vetor de grupo, o seu acesso é por um apontador para *Group*, exceto os pares chave/valor guardados numa tabela na estrutura *Models*, com o acesso feito à estrutura por apontador para a mesma.

Algoritmo 3 Função Principal Leitura

```
1: procedure READXMLFROMROOTELEMENT(XMLElement * elem, Modelos * models, Group * grupo)
2:   if elem = NULL then
3:     return
4:   for all elem ∈ SIBLINGS do
5:     if elem = TRANSLATION ∨ elems = SCALE then
6:       if elem = TRANSLATION then
7:         if elem = Attribute(TIME) then
8:           ▷ Obter o atributo time e os valores dos pontos de controlo para animação da translação ▷ os atributos x, y, z são alternativos. Se aparecerem é lhes atribuído um valor. Caso contrário ficam com o valor 0
9:           Guardar x, y, z numa transformação como translação animada com órbita
10:        else
11:          ▷ os atributos x, y, z são alternativos. Se aparecerem é lhes atribuído um valor. Caso contrário ficam com o valor 0
12:          Guardar x, y, z numa transformação como translação
13:        else
14:          Guardar x, y, z numa transformação como escala
15:        else if elem = ROTATION then
16:          if elem = Attribute(TIME) then
17:            ▷ Obter o atributo time e os atributos axisx,y,z. Para estes últimos, se aparecerem é lhes atribuído um valor. Caso contrário ficam com o valor 0
18:            ▷ os atributos x, y, z são alternativos. Se aparecerem é lhes atribuído um valor. Caso contrário ficam com o valor 0
19:            Guardar x, y, z numa transformação como rotação animada
20:          else
21:            ▷ os atributos axisx,y,z e angle são alternativos. Se aparecerem é lhes atribuído um valor. Caso contrário ficam com o valor 0
22:            Guardar axisx,y,z e angle numa transformação como rotação
23:          else if elem = MODELS then
24:            for all model ∈ MODELS do
25:              Guardar atributo file no vetor de vector<string> apontado por grupo
26:              Carregar lista de triângulos num map associado a file, apontados por models
27:          else if elem = GROUP then
28:            Criar novo *novo_grupo
29:            READXMLFROMROOTELEMENT(elem, novo_grupo)
```

Como se pode ver no *Algoritmo 3*, as primeiras instruções referem-se ao caso de paragem da função recursiva que verifica se o apontador do elemento, representa é um apontador não nulo. Em caso de nulo, a função retorna para o sítio de onde foi invocada. Em seguida itera-se cada elemento que esteja no mesmo nível da árvore do documento XML, podendo o elemento representar uma rotação, uma escala, uma translação, um modelos ou grupos de modelos, e



por fim um grupo.

Com efeito, se o elemento encontrado representar uma escala ou uma translação caso for um translação e encontrar um atributo `time`, lê o valor nesse atributo e itera pelos elementos `point`, verificando os atributos `x`, `y` e `z` de cada ponto adicionando ao vetor de pontos da translação animada (`AnimatedTranslation`) e adiciona a transformação ao vetor de transformações. Caso contrário obtêm-se os atributos `x`, `y` e `z` e cria-se um apontador, alocando memória para um instância da classe `Translation` conforme a sua existência. Caso for uma rotação e encontrar um atributo `time`, lê o valor nesse atributo e os os valores `axisX`, `axisY` e `axisZ`, e guarda uma `AnimatedRotation`. Caso contrário cria um `Rotation` com `axisX`, `axisY`, `axisZ` e `angle`, conforme a sua existência. Em ambos os casos a transformação é adicionada ao vetor de transformações.

Se o elemento representar um conjunto de modelos, é efetuada uma navegação por apontador para todos os elementos desse conjunto, obtendo o valor do atributo `file`. Este é guardado no vetor de vetor de `strings` de `Group`. De igual modo, através do valor do ficheiro é feita uma leitura do mesmo, que tem os valores dos pontos dos vértices dos triângulos para *rendering*. Note-se que cada linha do ficheiro representa um vértice, dado que cada linha tem os valores dos vértices separados por espaço, e cada vértice tem as coordenadas `x`, `y` e `z`.

Por último, caso seja encontrado um elemento grupo, podem ocorrer uma de duas situações: se o grupo está ao mesmo nível do grupo que antecedeu, ou seja é um elemento *irmão* ou se está dentro de um grupo, isto é, é um *filhos* do grupo anterior. No entanto, note-se que não existe uma verificação dos dois caso no algoritmo, sendo efetuada uma chamada recursiva, com um novo elemento grupo. Para ilustrar o caso, atente-se na *Figura 18*. A primeira invocação deste função, representada pelo algoritmo, é precedida pela inicialização de um `Group`, sendo este passado como parâmetro para esta função. Ou seja é a raiz da árvore de `Group` e não possui quaisquer valores. O primeiro elemento que a função encontra é um grupo, como se pode ver na figura, logo tem que ser inicializado e adicionado à raiz, e apontador deste novo `Group` é passado por parâmetro para a chamada recursiva da função. Dentro da chamada recursiva, vão sendo adicionadas as transformações e modelos e se houver um novo grupo, o processo repete-se. Algo de salientar é que a raiz, não tem transformações nem modelos nos respetivos, nunca, e apenas o vetor com os apontadores para os filhos é que é preenchido. Dado que um elemento com a `tag scene` pode apenas ter grupos e não transformações, assim se justifica a raiz não ter transformações. Para o caso da *Figura 18*, a raiz terá apenas um *filho*, que será o *pai* de todos os outros grupos.

À medida que vão sendo encontrados elementos XML nulos, ou seja, que não há mais nada no mesmo nível, a função ainda entra na chamada recursiva, mas logo retorna. Para clarificar, o `Group` para qual foi criada memória, logo antes desta chamada recursiva tem de existir e é uma folha. Além do mais, como demonstra a figura, as sucessivas chamadas recursivas vão retornando e voltando para o sítio onde forma invocadas. Nesta chamadas recursivas, como o apontador para o `Group` pai permanece localmente nessa função, vão sendo adicionados novos os *irmãos*.

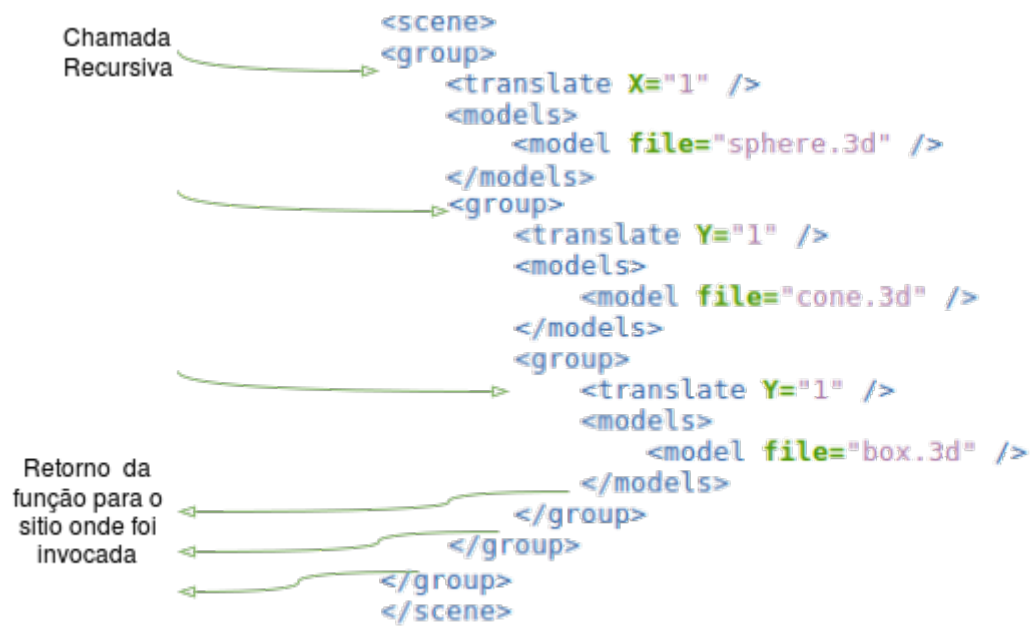


Figura 18: Diagrama representativo da recursividade do processo de leitura



3.4 Descrição do ciclo de *rendering*

Para fazer o *rendering* da estrutura de dados em memória, implementou-se uma função de travessia da árvore, colocada na função `renderScene`, após a função `glLoadIdentity` e `gluLookAt`, nesta sequência. O *Algoritmo 4* representa a função que efetua esta travessia.

Com efeito, a primeira instrução é a `glPushMatrix`, uma vez que se pretende colocar uma matriz para aplicação das transformações no topo da *stack* de matrizes do *OpenGL*. Em seguida, para cada transformação contida num `Group`, é invocada a função `applyTransformation`, já mencionada na *Secção 3.2*, que aplica as transformações conforme o contexto, como já foi explicado.

Em seguida, é invocada a função `drawElement`, descrita no *Algoritmo ??*. Esta função especifica a primitiva para que será criada com os vértices em memória, neste caso com um triplo de vértices.

Os vértices estão contidos, em objetos do tipo `Triangle` que por sua vez, contêm objetos do tipo `Point3d` com as coordenadas de cada vértice. Para obter estes vértices e criar a primitiva com `glVertex3f`, é necessário obter todas as *strings* com o nome dos ficheiros no vetor de *string* de cada `Group`. Como cada nome, procura-se pelo nome de ficheiro na tabela a partir do apontador para `Modelos`. Se a entrada existir, obtêm-se todos valores de `Triangle`, respetivos vértices e coordenadas.

No seguimento desta instrução existe um ciclo para aceder a elementos do vetor de apontadores pelo índice para `Group`. Cada elemento (apontador para `Group`) em determinada posição do *array* é passado por argumento para a chamada recursiva da função. Quando o chamada recursiva retorna, o índice é incrementado e o processo repete-se. A função termina quando não houver mais elementos no vetor. Ou seja, o índice é incrementando à medida que a chamadas recursivas entram na memória automática (*stack*) e retornam, saindo da *stack*.

Por último, note-se que a `glPopMatrix` é executada logo após o retorno da chamada recursiva. Uma vez que as transformações sejam herdadas é necessário colocar matrizes na *stack* de matrizes do *OpenGL*, conforme se vai descendo na árvore. Quando a função faz o *pop* à *stack* de matrizes, faz-lo na mesma chamada recursiva da função.

Algoritmo 4 Função de travessia da árvore de Group

```

1: procedure TRAVERSE TREE(Modelos * models, Group * grupo)
2:   GLPUSHMATRIX( )
3:   for all transformation ∈ grupo → TRANSFORMATIONS do
4:     transformation → APPLYTRANSFORMATION( )
5:   DRAWELEMENT(models, grupo)
6:   i ← 0
7:   while i < tamanho do array grupo → FILHOS do
8:     TRAVERSE TREE(models, grupo → FILHOSi)
9:     GLPOPMATRIX( )
10:    i ← i + 1

```

3.5 Classe AnimatedRotation

3.6 Classe AnimatedTranslation

3.6.0.1 Splines cúbicas Catmull-Rom A curva cúbica *Catmull-Rom* para dados pontos de controlo P_0, P_1, P_2, P_3 , está definida de modo a que a tangente em cada ponto P_i possa ser encontrada através da diferença entre os seus pontos vizinhos P_{i-1} e P_{i+1}

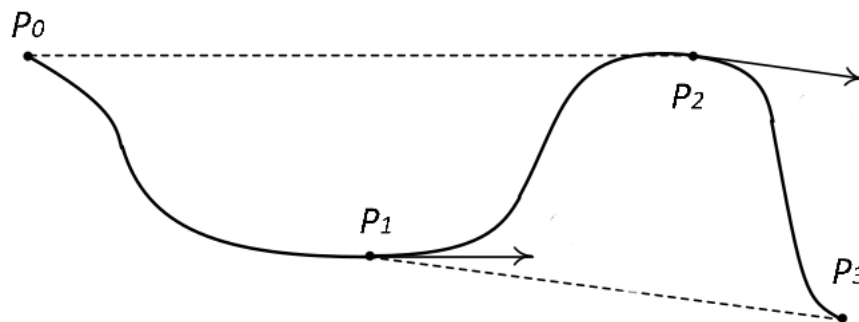


Figura 19: *Spline* cúbica Catmull-Rom para os pontos P_0, P_1, P_2, P_3

Esta curva pode ser escrita em forma de matriz:

$$\begin{aligned}
 \frac{P_2 - P_0}{2} &= P'_1 = P'(0) = c \\
 P_1 &= P(0) = d \\
 P_2 &= P(1) = a + b + c + d \\
 \frac{P_3 - P_1}{2} &= P'_2 = P'(1) = 3a + 2b + c
 \end{aligned}$$

O que é equivalente a:



$$P_0 = a + b - c + d$$

$$P_1 = P_0 = d$$

$$P_2 = P(1) = a + b + c + d$$

$$P_3 = 6a + 4b + 2c + 1$$

Este conjunto de equações pode-se representar na seguinte operação de matrizes:

$$P = \begin{bmatrix} P_0 \\ P_1 \\ P_2 \\ P_3 \end{bmatrix} = \begin{bmatrix} 1 & 1 & -1 & 1 \\ 0 & 0 & 0 & 1 \\ 1 & 1 & 1 & 1 \\ 6 & 4 & 2 & 1 \end{bmatrix} \begin{bmatrix} a_x & a_y & a_z \\ b_x & b_y & b_z \\ c_x & c_y & c_z \\ d_x & d_y & d_z \end{bmatrix} = C \times A \quad (9)$$

$$A = C^{-1}P \quad (10)$$

Estes cálculos até agora demonstrados irão ser aplicados algoritmicamente no programa da seguinte maneira:

$$\begin{bmatrix} x(u) & y(u) & z(u) \end{bmatrix} = \begin{bmatrix} t^3 & t^2 & t & 1 \end{bmatrix} \begin{bmatrix} -0.5 & 1.5 & -1.5 & 0.5 \\ 1 & -2.5 & 2 & -0.5 \\ -0.5 & 0 & 0.5 & 0 \\ 0 & 1 & 0 & 0 \end{bmatrix} \begin{bmatrix} P_0 \\ P_1 \\ P_2 \\ P_3 \end{bmatrix} \quad (11)$$

4 Resultados

Para criar o modelo do sistema solar tomaram-se algumas liberdades em relação à distância dos planetas ao Sol, e como tal os valores das translações são mais ou menos obtidos por experimentação.

Os resultados obtidos estão nas imagens seguintes.

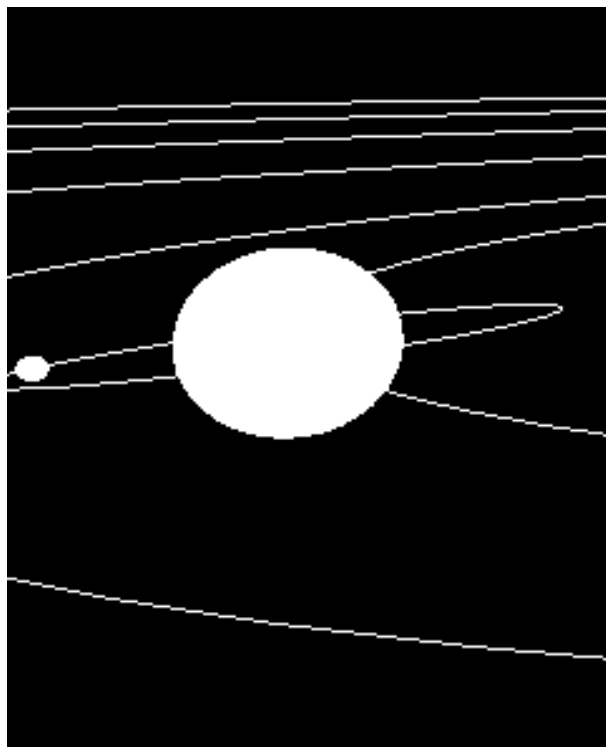


Figura 20: *Rendering* do modelo com foco na órbita da Lua

A Figura 21 mostra o modelo com cometa.

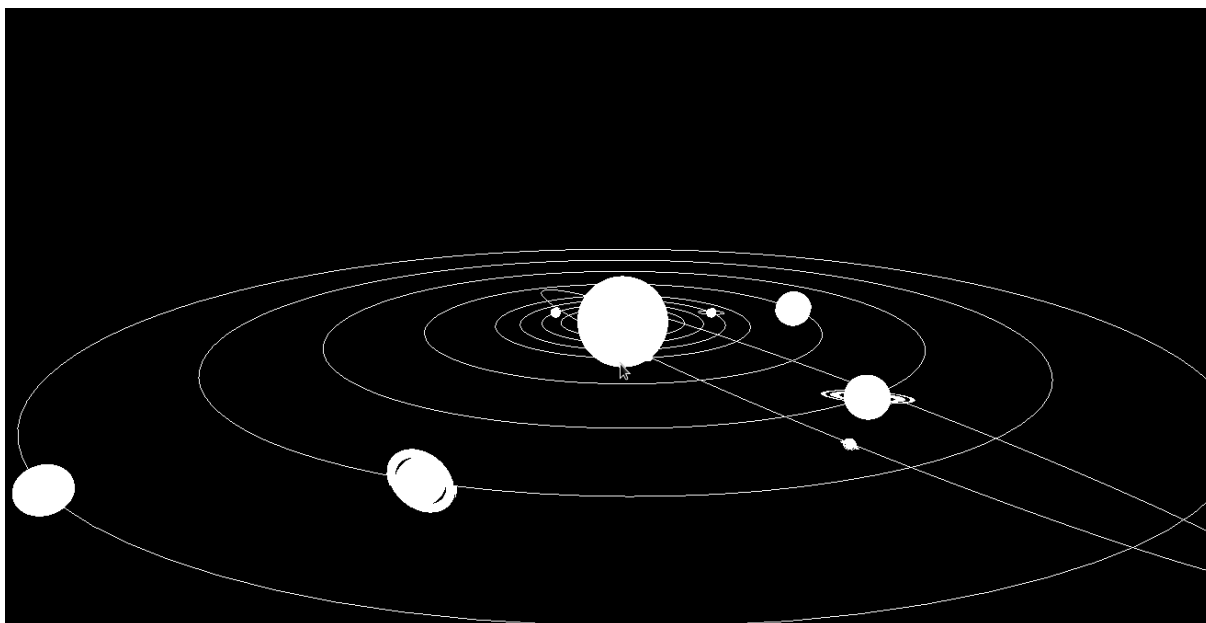


Figura 21: *Rendering* do modelo final



Conclusão

Em suma, pode-se afirmar que a maioria dos objetivos foram cumpridos, ou seja existe um modelo do sistema solar que pode ser *renderizado* com primitivas gráficas personalizadas, a partir da leitura de um ficheiro XML, cujo os dados são carregados numa estrutura em memória. Além do mais, existe a possibilidade de aplicar transformações a essa primitiva, tais como rotações, translações e escalas.

Com efeito, na primeira secção, relativa ao programa `Generator` que calcula os vértices de triângulos, foram implementas duas funções para desenhar esferas e discos com determinada espessura, para serem utilizados na construção do sistema solar. Adicionalmente, nesta secção são apresentados os algoritmos para o cálculos dos vértices, bem como diagramas explicativos, como também resultados da implementação desse algoritmos, e por último, fórmulas.

Na segunda secção, relativa ao programa `Engine`, que *renderiza* os vértices guardados em ficheiros, foram implementadas rotinas para a leitura de dados, sendo, este processo, feito apenas uma vez, guardando os dados lidos em estruturas de dados adequadas. De igual modo criou-se um algoritmo para iteração nessas estruturas de dados, durante o processo de *rendering*. À semelhança, com a secção anterior, este secção apresenta resultados, algoritmos e diagramas.

No entanto ficaram duas coisas por fazer: otimização da função de leitura (*parsing* de linhas), uma vez que este processo tem várias iterações em cada resultado da linha obtida, e a implementação da câmara em primeira pessoa não foi possível, uma vez que, não houve tempo para amadurecer conhecimentos.



Referências

- [1] A. Borekov and E. Shikin, *Computer Graphics: From Pixels to Programmable Graphics Hardware*, 2013.
- [2] F. Dunn and I. Parberry, *3D Math Primer for Graphics and Game Development*, 2nd ed. Wordware Pub, 2002.
- [3] B. Eckel, *Thinking in C++*. Prentice Hall, 2000.
- [4] —, *Thinking in C++*. Prentice Hall, 2000.
- [5] A. Koenig and B. E. Moo, *Accelerated C++ : Practical Programming by Example*. Addison-Wesley, 2000.
- [6] E. Lengyel, *Mathematics for 3D Game Programming and Computer Graphics*, 3rd ed. Course Technology PTR, 2012.
- [7] S. B. Lippman, J. Lajoie, and B. E. Moo, *C++ Primer*, 5th ed. Addison-Wesley, 2013.
- [8] A. Ramires, “GLUT Tutorial,” 2011. [Online]. Available: <http://www.lighthouse3d.com/tutorials/glut-tutorial/>
- [9] P. Shirley and S. Marschner, *Fundamentals of Computer Graphics*. CRC Press, 2015.
- [10] D. Shreiner and Khronos OpenGL ARB Working Group., *OpenGL Programming Guide : The Official Guide to Learning OpenGL, Versions 3.0 and 3.1*, 7th ed. Addison-Wesley, 2010.
- [11] B. Stroustrup, *A Tour Of C++*. Addison-Wesley, 2014.



ANEXOS

A Modelo do Sistema Solar

```
<?xml version="1.0"?>
<scene>
  <!-- Sun -->
  <group>
    <rotate angle="7.25" axisZ="1"/>
    <scale X="17" Y="17" Z="17"/>
    <models>
      <model file="sphere.3d"/>
    </models>
  </group>
  <!-- Mercury -->
  <group>
    <translate X="23"/>
    <rotate angle="0.03" axisZ="1"/>
    <models>
      <model file="sphere.3d"/>
    </models>
  </group>
  <group>
    <scale X="15.33" Y="15.33" Z="15.33"/>
    <models>
      <model file="orbit.3d"/>
    </models>
  </group>
  <!-- Venus -->
  <group>
    <translate X="30"/>
    <scale X="2" Y="2" Z="2"/>
    <rotate angle="2.64" axisZ="1"/>
    <models>
      <model file="sphere.3d"/>
    </models>
  </group>
  <group>
    <scale X="20" Y="20" Z="20"/>
    <models>
      <model file="orbit.3d"/>
    </models>
  </group>
  <!-- Earth -->
  <group>
    <translate X="38"/>
    <scale X="2" Y="2" Z="2"/>
    <rotate angle="23.44" axisZ="1"/>
    <models>
      <model file="sphere.3d"/>
    </models>
  </group>
</scene>
```



```
</models>
<!-- Moon -->
<group>
  <translate X="2"/>
  <scale X="0.25" Y="0.25" Z="0.25"/>
  <rotate angle="6.68" axisX="1"/>
  <models>
    <model file="sphere.3d"/>
  </models>
</group>
</group>
<group>
  <scale X="25.33" Y="25.33" Z="25.33"/>
  <models>
    <model file="orbit.3d"/>
  </models>
</group>
<!-- Mars -->
<group>
  <translate X="47"/>
  <scale X="1.25" Y="1.25" Z="1.25"/>
  <rotate angle="25.19" axisZ="1"/>
  <models>
    <model file="sphere.3d"/>
  </models>
</group>
<group>
  <scale X="31.33" Y="31.33" Z="31.33"/>
  <models>
    <model file="orbit.3d"/>
  </models>
</group>
<!-- Jupiter -->
<group>
  <scale X="48" Y="48" Z="48"/>
  <models>
    <model file="orbit.3d"/>
  </models>
</group>
<group>
  <translate X="72"/>
  <scale X="7" Y="7" Z="7"/>
  <rotate angle="3.13" axisZ="1"/>
  <models>
    <model file="sphere.3d"/>
  </models>
</group>
<!-- Saturn -->
<group>
  <scale X="70" Y="70" Z="70"/>
  <models>
    <model file="orbit.3d"/>
  </models>
</group>
```



```
</group>
<group>
  <translate X="105"/>
  <scale X="6" Y="6" Z="6"/>
  <rotate angle="26.63" axisZ="1"/>
  <models>
    <model file="sphere.3d"/>
    <model file="ring.3d"/>
    <model file="ring3.3d"/>
  </models>
</group>
<!-- Uranus -->
<group>
  <scale X="93.33" Y="93.33" Z="93.33"/>
  <models>
    <model file="orbit.3d"/>
  </models>
</group>
<group>
  <translate X="140"/>
  <scale X="5" Y="5" Z="5"/>
  <rotate angle="82.23" axisZ="1"/>
  <models>
    <model file="sphere.3d"/>
    <model file="ring2.3d"/>
  </models>
</group>
<!-- Neptune -->
<group>
  <scale X="120" Y="120" Z="120"/>
  <models>
    <model file="orbit.3d"/>
  </models>
</group>
<group>
  <translate X="180"/>
  <scale X="5" Y="5" Z="5"/>
  <rotate angle="28.32" axisZ="1"/>
  <models>
    <model file="sphere.3d"/>
  </models>
</group>
</scene>
```

Listing 1: Código XML com parâmetros para o sistema solar